#### 「药 理]

# 槲皮素对 LPS 诱导小鼠 RAW264.7 细胞炎症的保护作用

任改艳. 张步有. 黄剑林\* (延安大学附属医院临床药学科,陕西 延安 716000)

摘要:目的 研究槲皮素对脂多糖 (LPS) 诱导小鼠 RAW264.7 细胞炎症的保护作用。方法 CCK-8 法检测细胞活 力, Griess 法检测 NO 释放, RT-PCR 法检测 TNF-α、IL-6、IL-1β、iNOS、COX-2、MCP-1、TLR2、TLR4、MyD88 mRNA 表达, Western blot 法检测 iNOS、COX-2、TLR4、IκBα、p-IκBα、p-NF-κB p65 蛋白表达。结果 不同浓度 (0~ 50 μmol/L) 槲皮素对细胞活力无明显影响 (P>0.05)。与 LPS 组比较, 槲皮素组 (25、50 μmol/L) 显著抑制 NO 释 放 (P<0.05); 槲皮素组 (5、15、25 μmol/L) 显著降低 TNF-α、IL-6、IL-1β、iNOS、COX-2、MCP-1、TLR4、MγD88 mRNA 表达和 iNOS、COX-2 蛋白表达 (P<0.05, P<0.01), 并呈浓度依赖性; 槲皮素组 (25 μmol/L) 显著下调 TLR4、p-IκBα、p-NF-κB p65 蛋白表达 (P<0.05), 显著上调 IκBα 蛋白表达 (P<0.05)。结论 槲皮素可抑制 LPS 诱 导小鼠 RAW264.7 细胞炎症, 其机制可能与调节 TLR4/NF-κB 信号通路有关。

关键词: 槲皮素; LPS; RAW264.7细胞; 炎症

中图分类号: R285.5 文章编号: 1001-1528(2019)08-1795-05 文献标志码: A

doi:10.3969/j.issn.1001-1528.2019.08.009

# Protective effects of quercetin on the inflammation of mice RAW264.7 cells induced by LPS

REN Gai-yan, ZHANG Bu-you, HUANG Jian-lin\* (Department of Clinical Pharmacy, the Hospital Affiliated to Yan' an University, Yan' an 716000, China)

ABSTRACT: AIM To study the protective effects of quercetin on inflammation of mice RAW264. 7 cells induced by lipopolysaccharide (LPS). METHODS Cell viability was detected by CCK-8 method, NO release was detected by Griess method, TNF-α, IL-6, IL-1β, iNOS, COX-2, MCP-1, TLR2, TLR4 and MyD88 mRNA expressions were detected by RT-PCR, iNOS, COX-2, TLR4, IκBα, p-IκBα and p-NF-κB p65 protein expressions were detected by Western blot. **RESULTS** Different concentrations (0-50 μmol/L) of quercetin demonstrated no obvious effects on cell activity (P>0.05). Compared with LPS group, quercetin groups (25, 50 μmol/L) shared significantly inhibited NO release (P < 0.05); quercetin groups (5, 15, 25  $\mu$ mol/L) displayed markedly decreased TNF-α, IL-6, IL-1β, iNOS, COX-2, MCP-1, TLR4 and MyD88 mRNA expressions, and iNOS and COX-2 protein expressions (P<0.05, P<0.01) in a concentration-dependent manner; quercetin group (25 μmol/ L) demonstrated obviously down-regulated TLR4, p-IkB $\alpha$  and p-NF-kB p65 protein expressions (P<0.05), and obviously up-regulated IkB $\alpha$  protein expression (P<0.05). **CONCLUSION** Quercetin can inhibit the inflammation of mice RAW264. 7 cells induced by LPS, whose mechanism may contribute to the regulation of TLR4/NF-κB signaling pathway.

**KEY WORDS**: quercetin; LPS; RAW264. 7 cells; inflammation

炎症是一种非常重要的基本病理过程,通常伴 有时甚至会产生恶性肿瘤。在炎症分子机制研究 中,基于炎症信号通路中的关键分子筛选抗炎药物 随着多种疾病的发生发展,不仅会加重疾病进程,

收稿日期: 2018-10-25

作者简介:任改艳 (1989—), 女,硕士,研究方向为分子药理学。Tel: (0911) 2881106, E-mail: rengaiyan@126.com

<sup>\*</sup> 通信作者:黄剑林 (1963—),女,主任药师,研究方向为临床药学。E-mail: hjl615612@ 163.com

受到广泛关注,其中 NF-κB 是一种多效性转录因子,参与多种炎症介质的转录调控,包括前炎性细胞因子(TNF-α、IL-6、IL-1β等)、趋化因子、免疫受体等<sup>[1-2]</sup>,在其上游信号分子中 Toll 样受体(TLRs)在炎症反应及相关疾病中的角色备受关注<sup>[3]</sup>。机体或细胞在 LPS 刺激下,TLRs 通过髓样分化因子 88(MyD88)依赖性途径活化 NF-κB,IκBα 发生磷酸化并降解,NF-κB 异源二聚体转移到核内,启动炎症靶基因的转录,进而放大炎症信号<sup>[4]</sup>。因此,针对性抑制 NF-κB 活化及其炎症信号通路关键分子的表达,被认为是防治炎症反应及相关疾病的有效策略。

槲皮素是多羟基黄酮类化合物,广泛存在于多种植物中,目前已知有 100 多种中草药中含有该成分,如败酱草、鱼腥草、旋复花、车前子、槐花等,具有抗肿瘤、抗氧化、抗炎、保护心血管、降压等多方面生物活性<sup>[5-7]</sup>。大量研究表明,槲皮素抑制细胞中丝裂原活化蛋白激酶(MAPK)级联激活<sup>[8]</sup>、一氧化氮合酶<sup>[9]</sup>(iNOS)、环氧合酶-2<sup>[10]</sup>(COX-2)异常上调与 NF-κB 信号通路有关,但尚无基于 TLRs/NF-κB 信号转导途径考察该成分抗炎活性及其机制的报道,故本实验研究槲皮素对 LPS诱导小鼠巨噬细胞 RAW264.7 炎症的保护作用,探讨其可能的分子机制。

### 1 材料

# 2 方法

- 2.1 细胞培养 RAW264.7细胞用含 10% 胎牛血清的 DMEM 培养基培养,置于 37% 5%  $CO_2$  培养箱中,每 2 d 换液 1 次,取对数期细胞用于实验。
- 2.2 细胞活力检测 RAW264.7 细胞悬液按照 1× 10<sup>6</sup>/mL 的密度接种于 96 孔板中,每孔 100 μL,设置空白组(培养基)、对照组(细胞+培养基)、

槲皮素组(1、5、15、25、35、50 μmol/L), 每 组 4 个复孔, 药物干预 12 h, 24 h 后弃去培养基, 每孔加入 10 μL CCK-8 试剂孵育 1 h, 450 nm 波长 处测定吸光度 (A), 计算细胞存活率, 公式为存 活率=[ $(A_{\S_{\oplus 4}} - A_{\S_{\ominus 4}})/(A_{\TeX_{\oplus 4}} - A_{\S_{\ominus 4}})$ ] ×100%。 2.3 NO 水平检测 采用 Griess 法。RAW264.7 细 胞悬液按照  $1 \times 10^5$ /mL 的密度接种于 96 孔板, 1、 5、15、25、35、50 μmol/L 槲皮素预处理 2 h 后, 加入 LPS (2 µg/mL) 共同孵育 12 h,设置空白组 (培养基)、对照组(细胞+培养基)、LPS组、 LPS+槲皮素组,每组6个复孔,按照 Griess 试剂 盒操作步骤测定上清亚硝酸盐(NO、)含有量。 2.4 炎症因子 mRNA 表达检测 采用 RT-PCR 法。 RAW264. 7 细胞悬液按照 1×10<sup>6</sup>/mL 的密度接种于 6 孔板中,每孔 3 mL,同法处理、培养细胞,每组 3 个复孔、培养结束后 TRIzol 试剂提取总 RNA、定 量蛋白。按照 TaKaRa 反转录试剂盒操作步骤合成 槲皮素, SYBR Green PCR 试剂联合荧光定量 PCR 仪进行 PCR 扩增和检测,反应条件为 95 ℃ 预变性 1 min, 95 ℃变性 15 s, 60 ℃退火 60 s, 共 43 个循 环。再通过 Primer 5.0 软件设计引物, 并采用 Blast 程序进行验证,涉及引物由西安西今生物科 技公司合成, 见表 1, 每次扩增以 β-Actin 基因为 内标,对 PCR 产物进行分析,比较各组 mRNA 表达。

表 1 引物序列
Tab. 1 Primer sequences

	1
	序列
IL-6	正向 5'-ATGGCATGGCTTACACCACC-3'
	反向 5'-TTGGTCCTTAGCCACTCCTTC-3'
TNF-α	正向 5'-CGTGGAACTGGCAGAAGAGG-3'
	反向 5'-AGACAGAAGAGCGTGGTGGC-3'
COX-2	正向 5'-GAAGTCTTTGGTCTGGTGCCT-3'
	反向 5'-GCTCCTGCTTGAGTATGTCG-3'
iNOS	正向 5'-GGGAATCTTGGAGCGAGTTG-3'
	反向 5'-GTGAGGGCTTGGCTGAGTGA-3'
IL-1β	正向 5'-GGCTGGACTGTTTCTAATGC-3'
	反向 5' ATGGTTTCTTGTGACCCTGA-3'
MCP-1	正向 5'-AAGTTGACCCGTAAATCTGA-3'
	反向 5'-TGAAAGGGAATACCATAACA-3'
TLR2	正向 5'-GCAAACGCTGTTCTGCTCAG-3'
	反向 5'-AGGCGTCTCCCTCTATTGTATT-3'
TLR4	正向 5'-TTCAGAGCCGTTGGTGTATC-3'
	反向 5'-CCCATTCCAGGTAGGTGTTT-3'
MyD88	正向 5'-AGGACAAACGCCGGAACTTTT-3'
	反向 5'-GCCGATAGTCTGTCTGTTCTAGT-3'
β-actin	正向 5'-CAGCCTTCCTTCTTGGGTAT-3'
	反向 5'-TGGCATAGAGGTCTTTACGG-3'

2.5 NF-ĸB 信号通路相关蛋白表达检测 采用

Western blot 法。同法处理、培养细胞、培养结束 后弃去上清,预冷 PBS 液洗涤,使用含蛋白酶抑 制剂的 RIPA 裂解液于冰上裂解蛋白, 离心取上 清,按照 BCA 试剂盒操作步骤定量蛋白,95 ℃灭 活 15 min, 10% SDS-PAGE 凝胶电泳分离蛋白,湿 转 100 min 后将蛋白转移至 PVDF 膜上, 5% 脱脂牛 奶封闭 2 h, 分别用一抗 iNOS、COX-2、TLR4、 ІкВα、p-ІкВα、p-NF-кВ p65、β-actin 于 4 ℃下孵 育过夜。PBST 缓冲液洗膜 3 次,每次 10 min,与 二抗共孵 1 h 后 ECL 显影。以 β-actin 为内标,定 量分析蛋白表达。

2.6 统计学分析 通过 SPSS 18.0 软件进行处理, 数据以(x±s)表示,组间比较采用单向方差分析 及 LSD 检验。P<0.05 表示差异有统计学意义。

### 结果

3.1 槲皮素对 RAW264.7 细胞活力的影响 显示, RAW264.7 细胞经 0~50 μmol/L 槲皮素处 理 12、24 h 后, 其活力无明显变化 (P>0.05)。

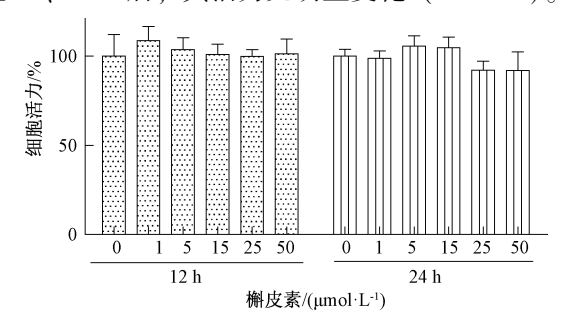


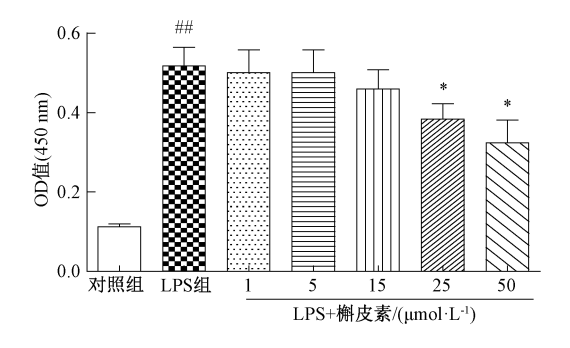
图 1 槲皮素对 RAW264.7 细胞活力的影响

Fig. 1 Effects of quercetin on RAW264.7 cell viability

3.2 槲皮素对 NO 释放及 iNOS、COX-2 蛋白表达 的影响 图 2 显示,与对照组比较, LPS 组 NO 释 放显著升高 (P<0.01); 与 LPS 组比较, LPS+槲 皮素 (25、50 μmol/L) 组其释放显著降低 (P< 0.05)。图 3 显示,与对照组比较,LPS 组 iNOS、 COX-2 蛋白表达显著升高 (P<0.01); 与 LPS 组 比较,LPS+槲皮素组能剂量依赖性地显著抑制两 者蛋白表达 (P<0.05, P<0.01)。

3.3 槲皮素对炎症因子 mRNA 表达的影响 显示,与对照组比较,LPS组 TNF-α、IL-6、IL-1β、iNOS、COX-2、MCP-1 mRNA 表达显著上调 (P<0.01); 与 LPS 组比较, LPS+槲皮素组六者 mRNA 表达不同程度地下调,有些差异有统计学意 义 (P<0.05, P<0.01)。

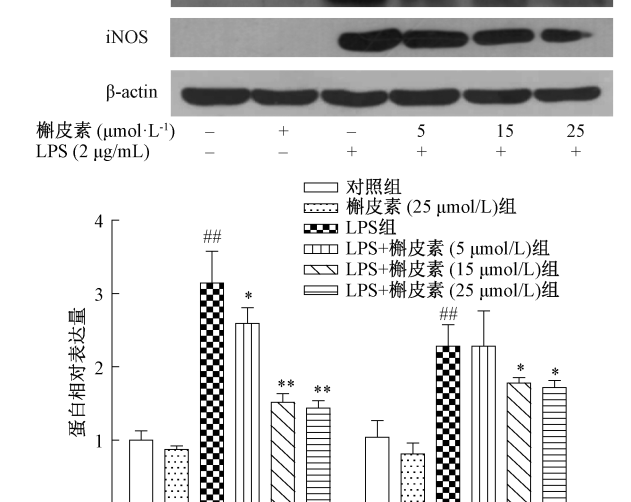
3.4 槲皮素对 NF-κB 信号通路相关蛋白表达的影 图 5 显示,与对照组比较,LPS 组 p-IκBα、p-



注:与对照组比较,##P<0.01;与LPS组比较,\*P<0.05 槲皮素对 NO 释放的影响

Fig. 2 Effects of quercetin on NO release

COX-2



注:与对照组比较, ##P<0.01;与LPS组比较, \*P<0.05, \*\*P<0.01

图 3 槲皮素对 iNOS、COX-2 蛋白表达的影响

iNOS

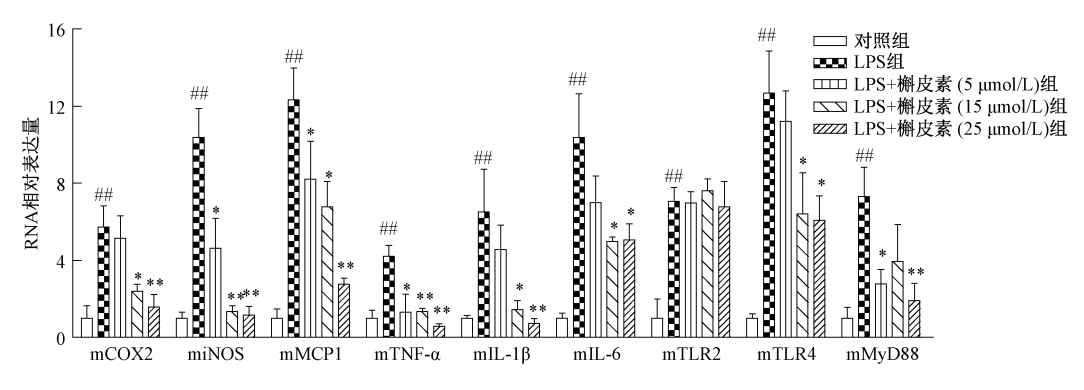
Fig. 3 Effects of quercetin on iNOS and COX-2 protein expressions

NF-κB p65 蛋白表达显著升高 (P<0.05, P< 0.01), IκBα 蛋白表达显著降低 (P<0.01); 与 LPS 组比较, LPS+槲皮素 (25 µmol/L) 组前两者 蛋白表达显著降低 (P<0.05), 后者蛋白表达显著 升高 (P<0.05)。

3.5 槲皮素对 Toll 样受体及其信号分子表达的影 图 4 显示,与对照组比较,LPS 组 TLR2、 TLR4、MyD88 mRNA 表达显著上调 (P<0.01); 与 LPS 组比较、槲皮组 TLR2 mRNA 表达无显著变 化 (P > 0.05),而 TLR4  $(15、25 \mu mol/L)$ 、 MyD88 (5、25 μmol/L) mRNA 表达显著下调 (P<0.05, P<0.01)。图 5显示,与对照组比较, LPS 组 TLR4 蛋白表达显著升高 (P<0.05); 与 LPS组比较,LPS+槲皮素(25 µmol/L)组其蛋白 表达显著降低 (P<0.05)。

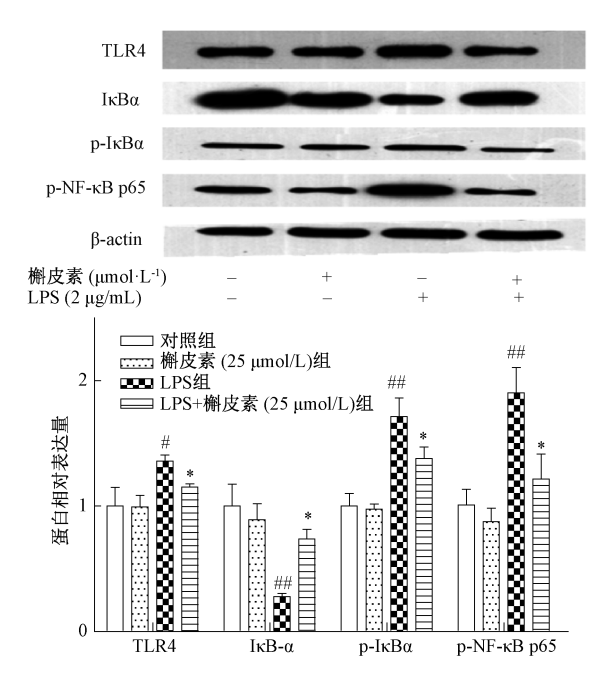
第8期

第 41 卷



注:与对照组比较,##P<0.01;与LPS组比较,\*P<0.05,\*\*P<0.01

图 4 槲皮素对 TNF-α、IL-6、IL-1β、iNOS、COX-2、MCP-1、TLR2、TLR4、MyD88 mRNA 表达的影响 Fig. 4 Effects of quercetin on TNF-α, IL-6, IL-1β, iNOS, COX-2, MCP-1, TLR2, TLR4 and MyD88 mRNA expressions



注:与对照组比较,\*P<0.05,\*\*P<0.01;与 LPS 组比较,\*P<0.05 图 5 槲皮素对 TLR4、IκBα、p-IκBα、p-NF-κB p65 蛋白 表达的影响

Fig. 5 Effects of quercetin on TLR4, IκBα, p-IκBα and p-NF-κB p65 protein expressions

## 4 讨论

炎症为常见的基本病理过程,是对刺激产生的防御性免疫反应,各种细菌、病毒、内毒素等都能导致人体各组织、器官、细胞炎症的发生[11]。在炎症反应及相关疾病发生过程中,巨噬细胞是主要的炎症细胞,以 LPS 诱导小鼠巨噬细胞 RAW264.7 作为体外炎症模型,可诱导细胞产生多种炎性介质、细胞因子、趋化因子等[12],均可促进炎症反应,故该模型被广泛用于抗炎药物筛选评价。本实验采用不同浓度槲皮素处理 RAW264.7 细胞,发现在 0~50 μmol/L 时对细胞活力无明显影响,提

示安全用药范围为≤50 µmol/L。

iNOS 与炎症密切相关,主要在炎症及 LPS 刺 激下表达,可催化 L-精氨酸持续产生 NO,过量 NO 将导致细胞损伤、组织坏死,进而促进炎症性 疾病发生发展,而且其产生能活化自身的环氧合酶 COX, 其中 COX-2 是诱生型表达的酶, 与炎症性 疾病关系密切,其表达与炎症严重程度有关,各种 炎症反应中均发现其蛋白、mRNA 表达升高[13]。 本实验用 1、5、15、25、35、50 μmol/L 槲皮素分 别预处理 RAW264.7 细胞2h, 与 LPS 共同作用后 通过 Griess 试剂法检测细胞上清亚硝酸盐含有量, Western blot 法检测 iNOS、COX-2 表达, RT-PCR 法检测 iNOS、COX-2 mRNA 表达,发现中、高剂 量组(25、50 μmol/L) 呈浓度依赖性地抑制由 LPS 诱导 RAW264.7 细胞 NO 的释放,并且不同程 度地下调 iNOS、COX-2 蛋白、mRNA 表达,初步 验证该成分的体外炎症保护作用。

RAW264. 7 细胞表面具有天然免疫的 TLRs 病原模式识别受体,能识别外源性同源配体 LPS,后者信号分子通过 TLRs 转导至 RAW264. 7 细胞内,激活转录因子 NF-κB,进而启动 TNF-α、IL-1β、IL-6、单核细胞趋化蛋白-1(MCP-1)等炎症级联效应酶mRNA 表达,引发系列免疫炎症反应,后者又可诱导 NF-κB 进一步活化,形成正反馈作用,加重炎症反应<sup>[14-16]</sup>。TLRs 转导途径主要包括 MyD88 依赖性、非依赖性途径,前者介导大部分 TLRs,而后者仅介导 TLR3,而且 TLR4 由 2 种途径共同介导<sup>[17]</sup>。本实验发现,RAW264. 7 细胞经 LPS 诱导后 TLR2、TLR4、MyD88 mRNA 表达显著上调,表明 RAW264. 7 细胞炎症反应是由 TLRs 识别 LPS 后引起的 TLRs 级联免疫炎症反应;槲皮素能下调 MyD88、TLR4 mRNA 表达,但对 TLR2 mRNA 表达无明显作用;25 μmol/L 浓度下

第8期

第 41 卷

能明显下调 LPS 诱导的 RAW264.7 细胞中 TLR4 蛋白表达,表明该成分可通过下调 RAW264.7 细胞 TLR4 蛋白、mRNA 表达,抑制其募集接头分子 MyD88,进而抑制 NF-κB 活化。

TNF- $\alpha$ 、IL-1 $\beta$ 、IL-6、单核细胞趋化蛋白-1 (MCP-1) 主要是由 LPS 诱导的单核巨噬细胞产生的前炎细胞因子,是机体早期炎症标志物,可在损伤、感染、免疫反应等情况下大量分泌释放,为炎症反应的促发剂[1]。本实验通过 RT-PCR 法检测细胞中炎性细胞因子、趋化因子 mRNA 表达,发现经 LPS 诱导后 RAW264.7 细胞中  $TNF-\alpha$ 、 $IL-1\beta$ 、IL-6、MCP-1 mRNA 表达均升高,而槲皮素对其均有剂量依赖性的抑制作用。

NF-κB 是炎症反应中的关键转录因子,静息状态下以非活性 NF-κB/IκB 复合物形式存在于细胞质中,当细胞受到 LPS 等刺激后,IκB 发生磷酸化并降解,NF-κB、IκB 解离,然后转移至核内参与调节细胞因子、趋化因子表达及炎症反应<sup>[18]</sup>。本实验通过 Western blot 法对 NF-κB 通路相关蛋白表达进行检测,发现 RAW264.7 细胞经 LPS 诱导后,细胞中 p-IκB、p-NF-κB p65 蛋白表达增加,IκB 蛋白表达减少,而 25 μmol/L 槲皮素能下调前两者蛋白表达,上调后者蛋白表达,提示该成分可通过抑制 IκB 磷酸化和降解,从而减少 NF-κB 核转位。

综上所述, 槲皮素对 LPS 诱导 RAW264.7 细胞炎症有一定保护作用, 其作用机制可能与该成分参与调控 TLR4/NF-κB 通路, 进而抑制细胞炎性介质 (iNOS、COX-2)、炎性细胞因子 (TNF-α、IL-1β、IL-6)、趋化因子 (MCP-1) 表达有关。今后,将进一步探讨槲皮素炎症保护作用的具体分子机制,寻找其他更有效的上游分子靶点及信号调控通路,为相关药理研究和药物开发提供理论依据。

# 参考文献:

- [ 1 ] Dou W, Zhang J, Ren G, et al. Mangiferin attenuates the symptoms of dextran sulfate sodium-induced colitis in mice via NF-κB and MAPK signaling inactivation [ J ]. Int Immunopharmacol, 2014, 23(1): 170-178.
- [2] Shukla R, Banerjee S, Tripathi Y B. Pueraria tuberosa extract inhibits iNOS and IL-6 through suppression of PKC-α and NFκB pathway in diabetes-induced nephropathy [J]. J Pharm Pharmacol, 2018, 70(8): 1102-1112.
- [ 3 ] Zhang T, Wu J, Ungvijanpunya N, et al. Smad6 methylation represses NF-κB activation and periodontal inflammation [ J ].

  J Dent Res., 2018, 97(7); 810-819.
- [4] Zhang J J, Dou W, Zhang E Y, et al. Paeoniflorin abrogates

- DSS-induced colitis via a TLR4-dependent pathway [J]. Am J Physiol Gastrointest Liver Physiol, 2014, 306(1): G27-G36.
- [5] Chen K C, Hsu W H, Ho J Y, et al. Flavonoids luteolin and quercetin inhibit RPS19 and contributes to metastasis of cancer cells through c-Myc reduction [J]. J Food Drug Anal, 2018, 26 (3): 1180-1191.
- [6] Men K, Duan X, Wei X W, et al. Nanoparticle-delivered quercetin for cancer therapy [J]. Anticancer Agents Med Chem, 2014, 14(6): 826-832.
- [7] Li S J, Liao Y F, Du Q. Research and application of quercetin-loaded nano drug delivery system[J]. China J Chin Mater Med, 2018, 43(10): 1978-1984.
- [8] Song Y, Liu J, Zhang F, et al. Antioxidant effect of quercetin against acute spinal cord injury in rats and its correlation with the p38MAPK/iNOS signaling pathway[J]. Life Sci, 2013, 92 (24-26): 1215-1221.
- [ 9 ] Sekhar S, Sampath-Kumara K K, Niranjana S R, et al. Attenuation of reactive oxygen/nitrogen species with suppression of inducible nitric oxide synthase expression in RAW 264. 7 macrophages by bark extract of Buchanania lanzan [ J ]. Pharmacogn Mag, 2015, 11(42): 283-291.
- [10] Carlsen I, Frøkiær J, Nørregaard R, et al. Quercetin attenuates cyclooxygenase-2 expression in response to acute ureteral obstruction[J]. Am J Physiol Renal Physiol, 2015, 308 (11): F1297-F1305.
- [11] Lee H N, Na H K, Surh Y J, et al. Resolution of inflammation as a novel chemopreventive strategy [J]. Semin Immunopathol, 2013, 35(2): 151-161.
- [12] Tebakari M, Daigo Y, Ishikawa H, et al. Anti-inflammatory effect of the water-soluble portion of porcine placental extract in lipopolysaccharide-stimulated RAW264.7 murine macrophage cells[J]. Biol Pharm Bull, 2018, 41(8): 1251-1256.
- [13] Terrin L, Agostini M, Ruvoletto M, et al. SerpinB3 upregulates the Cyclooxygenase-2/β-Catenin positive loop in colorectal cancer [J]. Oncotarget, 2017, 8(9): 15732-15743.
- [14] 卫智权,阎 莉,邓家刚,等. 芒果苷调控单核细胞 NF-κB (P65) 与 IκBα 表达对慢性支气管炎大鼠的保护作用[J]. 药学学报, 2014, 49(5): 596-601.
- [15] Yue B, Ren Y J, Zhang J J, et al. Anti-Inflammatory effects of fargesin on chemically induced inflammatory bowel disease in mice [J]. Molecules, 2018, 23(6): 1380.
- [16] Lin M H, Chen M C, Chen T H, et al. Magnolol ameliorates li-popolysaccharide-induced acute lung injury in rats through PPAR-γ-dependent inhibition of NF-κB activation [J]. Int Immunopharmacol, 2015, 28(1): 270-278.
- [17] Langlet C, Springeal C, Johnson J, et al. PKC-α controls MYD88-dependent TLR/IL-1R signaling and cytokine production in mouse and human dendritic cells [J]. Eur J Immunol, 2010, 40(2): 505-515.
- [18] 任改艳, 孙阿宁, 张晶晶, 等. NF-кB 在细胞凋亡中调节作用的研究进展[J]. 中国药理学与毒理学杂志, 2015, 29 (2): 323-327.